

ДОЛГОВРЕМЕННОЕ И ОРБИТАЛЬНОЕ ПОВЕДЕНИЕ H_{α} В СПЕКТРЕ HDE 226868 (ЛЕБЕДЬ X-1)

О. Э. Ааб

Исследована линия H_{α} в спектре сверхгиганта HDE 226868 — оптического компонента рентгеновского источника Лебедь X-1 по спектрограммам, полученным в течение пяти лет на 6-м телескопе. Измерены позиционные и фотометрические параметры линии, проведена редукция за фотосферную абсорбцию. Показано наличие долговременной и орбитальной переменности интенсивности H_{α} . Лучевые скорости, рассчитанные орбитальные кривые свидетельствуют об образовании эмиссии H_{α} в основном в истекающей атмосфере сверхгиганта, наблюдаются и дополнительные вклады в линию.

H_{α} line is studied in the spectrum of HDE 226868 supergiant — optical component of the X-ray source Cygnus X-1 from the spectrograms obtained during five years with the 6-meter telescope. Position and photometrical line parameters are measured and reduction for the photosphere absorption is made. The presence of long-time and orbital variability of H_{α} intensity is shown. The radial velocity curves, the calculated orbital curves testify the formation of H_{α} emission, mainly, in the mass-loss atmosphere of the supergiants. Additional contributions into the line are also detected.

Исследование эмиссии H_{α} в спектре HDE 226868 (Лебедь X-1) начато рабочими Брукато и Заппала [1] и Хатчингса и др. [2]. Двойственность объекта, наличие у сверхгиганта необычного компаньона позволяли предполагать не вполне звездное происхождение линии. Хатчингс и др. [2] показали, что эмиссия H_{α} образуется в аккреционном диске, окружающем рентгеновский источник. Брукато и Заппала [1], напротив, связали ее с окрестностью В-сверхгиганта. Позже Хатчингс и др. [3] также отнесли излучение в H_{α} почти полностью к главному компоненту — сверхгиганту. Таким образом, к настоящему моменту нет определенного ответа на вопрос об области формирования эмиссии H_{α} в спектре HDE 226868.

Наблюдения. Мы наблюдали HDE 226868 на 6-м телескопе с ноября 1976 г. Спектрограммы в красной области спектра ($\lambda = 5000 \pm 7000 \text{ \AA}$) получались реже, нежели в синем диапазоне ($\lambda = 3500 \pm 5000 \text{ \AA}$), по ноябрь 1983 г. включительно их получено 23. Использовалась камера II ОЗСП БТА, решетки $600''/\text{мм}$ с концентрацией света в 1-м и 2-м порядках. Высота спектров 0.5—0.6 мм, спектральное разрешение $0.8—1.5 \text{ \AA}$ (дисперсия в основном 28 \AA/mm , две спектрограммы получены с дисперсией 14 \AA/mm). Сведения о наблюдательном материале приведены в табл. 1. Указаны юлианская дата, дисперсия и спектроскопические фазы (φ). Они вычислялись в рамках орбитального решения $\varphi = (E - 2441556^d 208)/5^d 5997$ [4].

Спектрофотометрические методики. Традиционным образом, с помощью микроденситометра ИФО-451 были получены регистрограммы в шкале плотностей. Вручную, с помощью характеристических кривых строились профили эмиссии H_{α} , а также других линий в этом диапазоне — абсорбции HeI $\lambda 5876$, 6678 \AA , межзвездных линий D₁, D₂ NaI, $\lambda = 6613 \text{ \AA}$ и др. [5]. Сводный атлас профилей H_{α} приведен на рис. 1; указаны даты наблюдений и спектроскопические фазы.

Все спектрограммы были также промерены на астроспидометре САО [6], при этом определялись лучевые скорости линии H_{α} , деталей ее профиля, скорости других линий. Результаты измерений приведены в табл. 1. Для исходного профиля H_{α} даны лучевые скорости синего и красного компонентов линии

ТАБЛИЦА 1

ЮП 244000-+	A_{Hm}	φ	D_{b}, D_2 (NaI)	Лучевая скорость v_r , км/с						$-W_\lambda$ (H_α редукт)	
				H_α			H_α редукт				
				ам^-	абс	ам^+	цт	серед	5876	6678	
3613.520	44	0.397	-40.8	-225.1	-25.7	+164.1	+35	-13	-22.5	-47.4	2.71
4003.504	44	0.041	-8.4	-134.2	+67.7	+273.0:	+50	+80	+53.4	+70.5	1.99
4455.250	28	0.140	-8.1	-225.2	+54.2	+232.4	+57	+57	+55.2	+76.3	1.82
4484.481	28	0.306	-5.6	-304.0	+9.8	+258.4	+100	+48	+32.4	+40.6	2.66
4484.260	28	0.320	-42.7	-259.2	-26.3	+214.7	-	-	+46.3	+12.4	-
4485.310	28	0.082	-9.1	-258.6	+43.2	+267.3	+37	+60	+66.6	+75.4	4.49
4485.392	28	0.097	-9.0	-181.5	+41.0	+320.5	+114	+45	+63.6	+77.0	1.84
4884.213	28	0.348	-22.8	-226.9	-40.4	+188.9	+45	+22	+12.1	+41.1	2.56
5035.523	28	0.340	-14.4	-206.4	-21.3	+221.8	+123	+50	+14.6	+24.0	4.88
5035.582	28	0.350	-8.2	-254.6	-43.6	+185.4	+60	+10	+9.6	+16.9	4.85
5062.488	28	0.155	-10.3	-199.4	+54.9	+252.5	+10	+25	+49.6	+62.7	1.82
5062.535	28	0.163	-44.7	-228.2	+72.4	+314.8	+44	+44	+58.5	+72.3	2.23
5064.526	28	0.519	-	-	-57.4	+78.0	+80	-40	-	-103.5	-
5423.446	28	0.041	-45.6	-450.9	+55.7	+130.3	+40	+48	+34.4	+44.8	3.08
5423.520	28	0.054	-7.9	-194.8	+57.2	+125.4	+30	+12	+49.6	+67.4	-
5473.370	28	0.956	-4.9	-177.0	+42.6	+181.2	+74	+55	+33.9	+51.8	-
5475.450	28	0.328	-3.8	-177.8	-26.7	+200.7	+125	+125	+31.4	+52.4	-
5479.328	28	0.020	-41.4	-131.6	+2.8	+196.8	+80	+65	+27.8	+65.7	1.72
5222.474	28	0.725	-42.3	-443.7	-52.4	+203.4	-40	-33	-77.7	-120.4	-
5626.450	28	0.814	-10.4	-384.4:	-412.7	+159.2	+30	-40	-50.5	-49.3	2.24
5648.450	28	0.743	-4.5	-334.6:	-414.6	+149.5	+30	+5	-70.9	-76.6	2.46
5648.266	28	0.764	-24.3	-294.1	-112.8	+122.4	+20	-15	-100.2	-79.6	-
5649.278	28	0.945	-16.4	-279.5	-73.4	+132.6	+3	+3	-14.8	+43.4	1.71

ний и центральной абсорбции. Межзвездные линии служили хорошим контролем точности измерений v_r , средние их значения составляют \bar{v}_r (D_1 , NaI) = -11.8 ± 1.4 км/с, \bar{v}_r (D_2 , NaI) = -10.2 ± 1.1 км/с, \bar{v}_r (6613) = -6.0 ± 2.4 км/с. Ошибки одного измерения при этом равнялись 6.4, 5.3 и 11.0 км/с соответственно. Последнее значение характеризует типичную точность, с которой

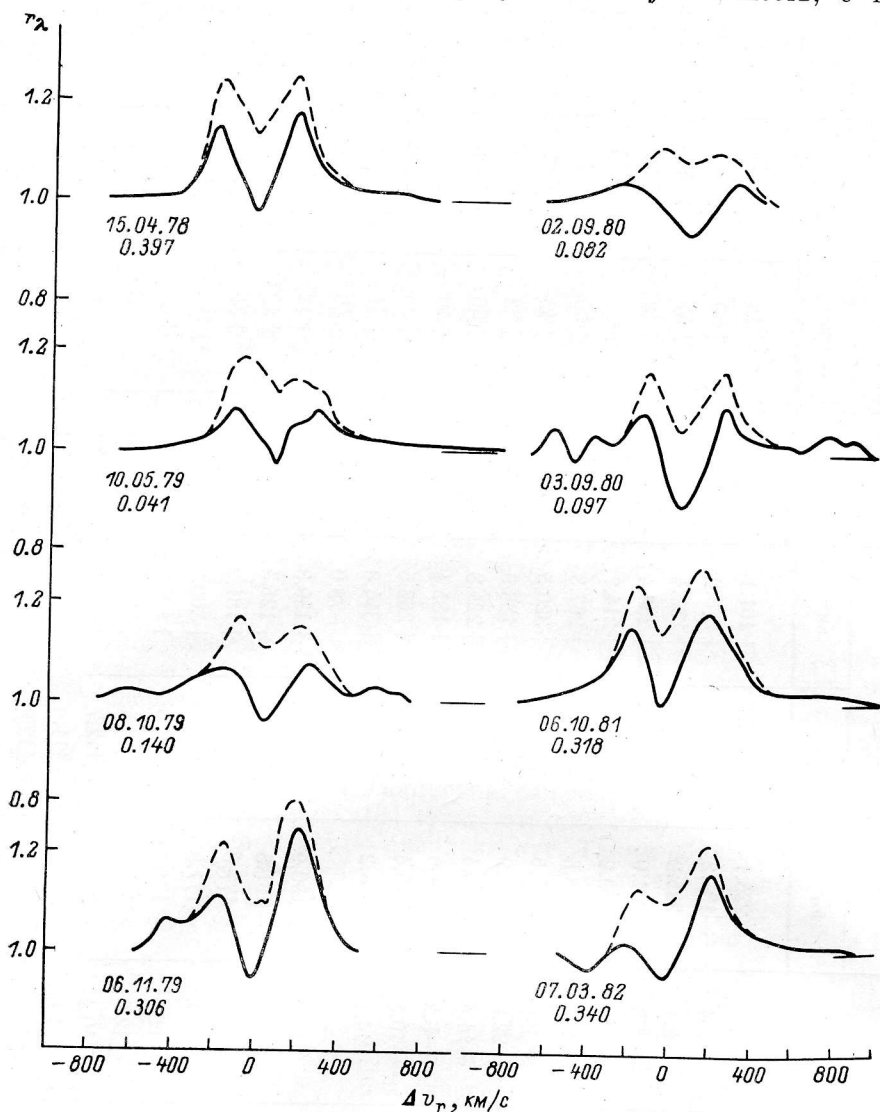


Рис. 1. Профили линии H_α в спектре HDE 226868.

Сплошная линия — исходный профиль, штриховая — редуцированный. Указаны даты наблюдений и спектроскопические фазы, отсчитываемые от момента прохождения перигастра.

измерялись детали линии H_α , сравнимые по интенсивности с абсорбцией $\lambda=6613 \text{ \AA}$ ($\bar{R}_c=0.10$, $\bar{W}_\lambda=0.20 \text{ \AA}$). Несколько недодержанные спектрограммы (7) привлекались для позиционных измерений, но не для измерения эквивалентных ширин.

В работах Хатчингса и др. [2, 3] была высказана идея об освобождении профиля H_α от фотосферной абсорбции сверхгиганта. Мы предприняли аналогичную попытку.

Вычитание фотосферной абсорбции из наблюдаемого профиля H_α проводилось по методике, аналогичной той, что использовалась при выделении «чистой» эмиссии в линии НеII $\lambda 4686 \text{ \AA}$ [7]. По измеренным деталям линии H_α на регистрограмме строилась зависимость (x, v_r). Мы полагали, что скорость централь-

ной абсорбции в нередуцированном профиле H_{α} характеризует движение сверхгиганта, точнее самых верхних, расширяющихся слоев его атмосферы. Действительно, вычисляя для каждой спектрограммы разность между скоростью абсорбции в H_{α} и средней лучевой скоростью абсорбционных линий в этой фазе, взятой по кривой лучевых скоростей [4], мы убедились, что наблюдаем типичное проявление «балльмеровского прогресса». В среднем $\Delta v_r = v_r (H_{\alpha} \text{ abs}) -$

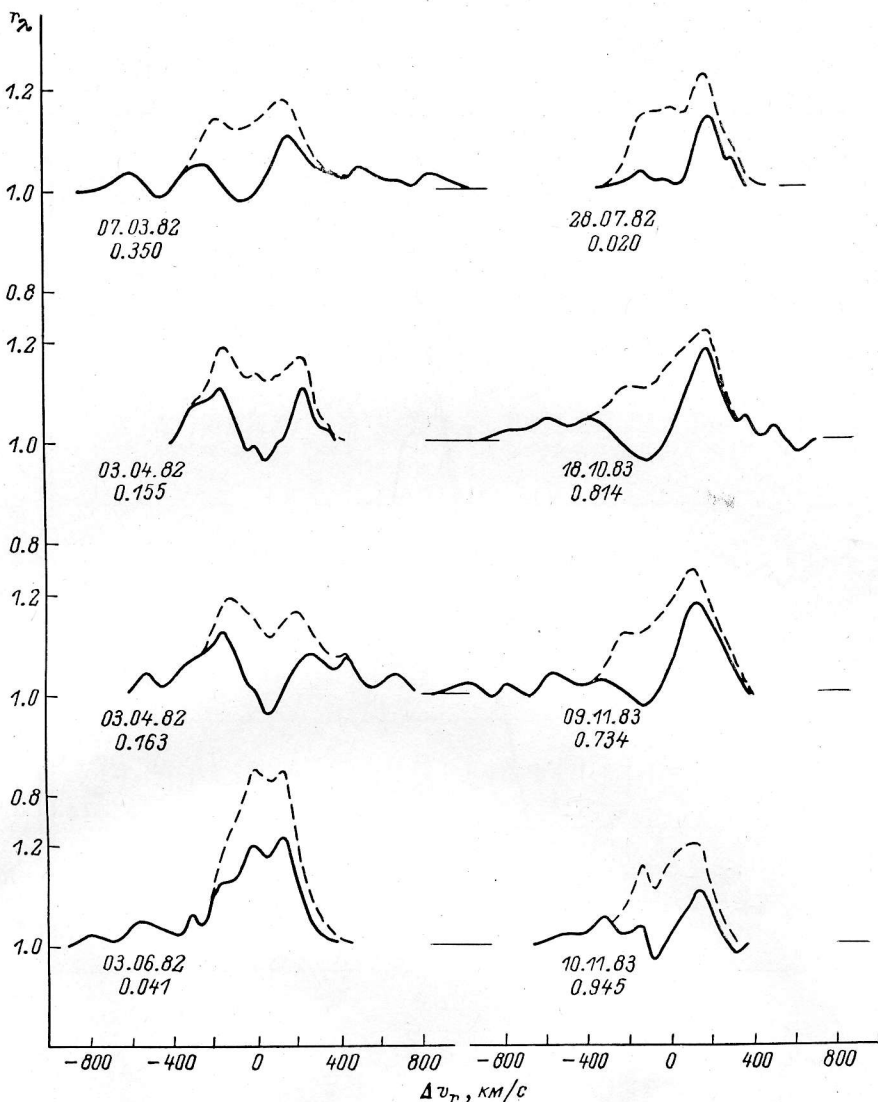


Рис. 1 (продолжение).

$\bar{v}_r (\text{абс}) = -33.0 \pm 6.3$ км/с. Величина ошибки свидетельствует о том, что наблюдается некоторая переменность этой величины с фазой орбитального (либо другого) периода.

В качестве фотосферного использовался профиль H_{α} в спектре 19 Сер из работы Хатчингса и др. [3], исправленный авторами за эмиссию в центральной части профиля. Сверхгигант 19 Сер весьма близок по спектральным характеристикам к HDE 226868: $T_{\text{eff}} = 31500$ К, $\lg g = 3.25$, $v \sin i = 75$ км/с [8] и $T_{\text{eff}} = -32900 \pm 200$ К, $\lg g = 3.07 \pm 0.03$, $v \sin i = 77 \pm 3$ км/с [9]. Профиль H_{α} 19 Сер помещался на зависимость (x, v_r) с $v_r = \bar{v}_r (\text{абс}) + \Delta v_r$, далее происходило его вычитание из реального, наблюдавшегося профиля в спектре HDE 226868. Возможная орбитальная переменность абсорбции H_{α} не учитывалась, о значимости этого

эффекта будет сказано ниже. Определялись лучевые скорости середины и центра тяжести эмиссионного редуцированного профиля, они приведены в табл. 1. Полная процедура редукции показана на рис. 2. Редуцированные профили H_{α} приведены на рис. 1 штриховыми линиями.

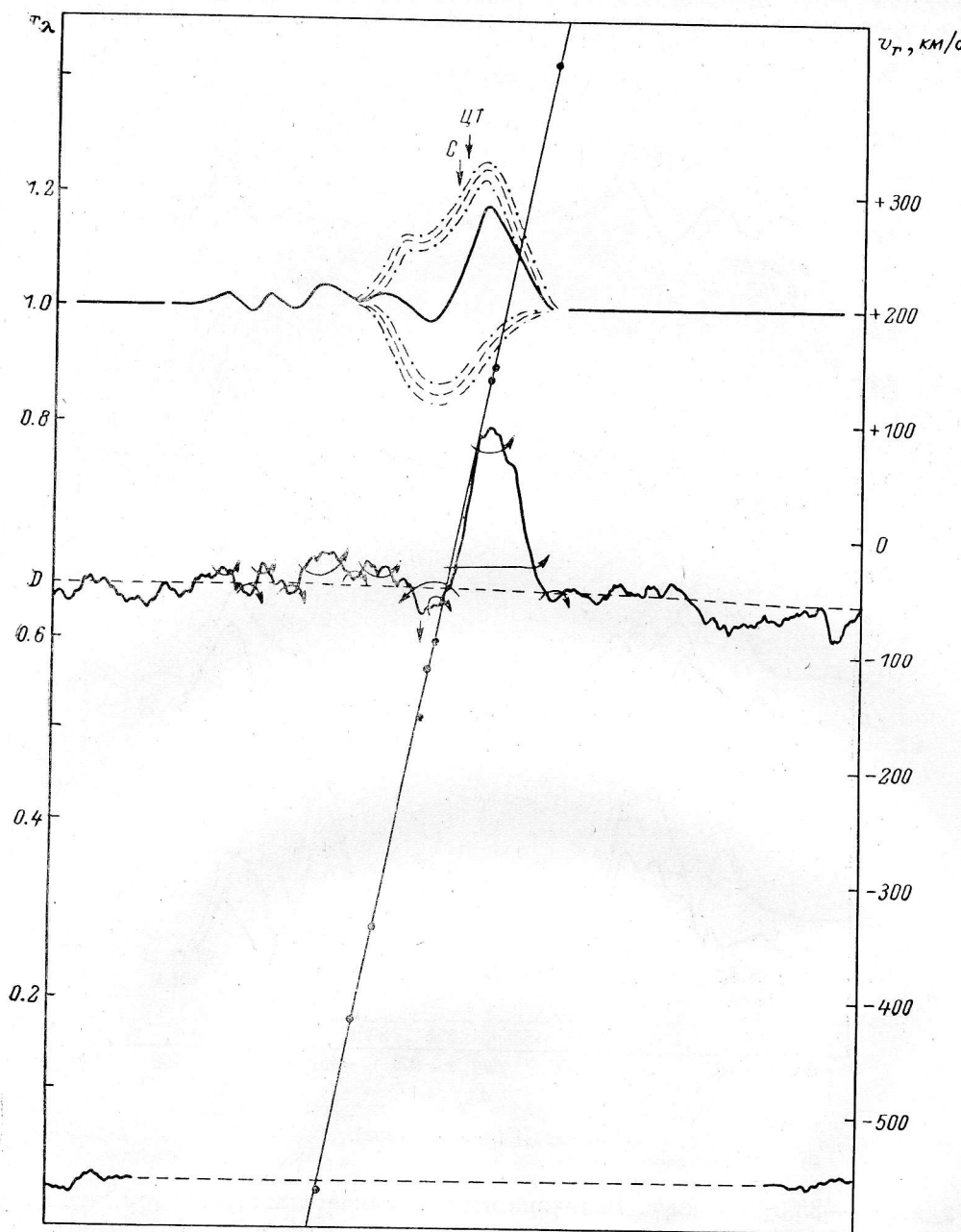


Рис. 2. Редукция профиля H_{α} — учет фотосферной абсорбции.

Внизу — микрофотометрическая запись области H_{α} ($\lambda=6530 \pm 6600 \text{ \AA}$) в плотностях; шкала плотностей справа. Отмечены измеряющиеся детали профиля, их лучевые скорости нанесены в масштабе, показанном справа; проведена зависимость (x, v_r) . Вверху — профили H_{α} : исходный (сплошная линия), фотосферный и редуцированный (штриховыми линиями). Стрелками отмечены положения центра тяжести и середины редуцированного профиля. Штрихпунктиром отмечена амплитуда изменения фотосферного профиля и редуцированного, предположении, что она подобна таковой в абсорбциях H_{γ} и H_{β} .

Кривые лучевых скоростей, результаты. Была сделана попытка просчитать орбитальные решения по всему набору данных табл. 1. Результаты расчетов приведены в табл. 2. Использовалась программа, созданная автором совместно с Н. П. Хорунжей на языке FORTRAN для ЭВМ ЕС-1035 [4]. В табл. 2 ука-

ТАБЛИЦА 2

Элемент орбиты	$v (H_{\alpha})$	Абсорбция H_{α}	$R (H_{\alpha})$	Редуцированная H_{α} , середина
P , дни	5.6015 ± 0.0020	5.6008 ± 0.0006	5.6019 ± 0.0002	5.6025 ± 0.0020
$T_0 (2440000+)$	3083.42 ± 1.35	3084.55 ± 0.34	3084.80 ± 0.30	3086.73
v_0 , км/с	-262.0 ± 11.3	-31.7 ± 5.9	179.1 ± 6.5	19.2 ± 5.4
K , км/с	84.5 ± 15.8	78.4 ± 7.8	83.0 ± 9.8	38.7 ± 7.3
e	0.04 ± 0.82	0.30 ± 0.08	0.81 ± 0.02	0.04 ± 0.44
ω , град	251 ± 11	301 ± 6	310 ± 10	120 ± 12
$a \sin i \cdot 10^6$, км	...	5.758 ± 0.658	...	2.980 ± 0.571
$f(M)$, M_{\odot}	...	0.243 ± 0.075	...	0.034 ± 0.019
ε , км/с	11.37	5.90	6.54	5.41

ТАБЛИЦА 2 (продолжение)

Элемент орбиты	Редуцированная H_{α} , центр тяжести	Все абсорбции [4]	$\lambda 5876 \text{ HeI}$	$\lambda 6678 \text{ HeI}$
P , дни	5.6034 ± 0.0020	5.5997 ± 0.0002	5.6003 ± 0.0005	5.6001 ± 0.0004
$T_0 (2440000+)$	3086.50 ± 2.45	3084.93 ± 0.30	3082.21 ± 2.65	3083.14 ± 0.83
v_0 , км/с	45.0 ± 6.7	-3.3 ± 1.4	-14.6 ± 2.4	-10.5 ± 2.6
K , км/с	31.5 ± 9.6	77.3 ± 1.6	77.6 ± 3.6	90.4 ± 3.7
e	0.04 ± 0.84	0.06 ± 0.02	0.04 ± 0.08	0.04 ± 0.15
ω , град	61 ± 18	311 ± 1	142 ± 3	204 ± 2
$a \sin i \cdot 10^6$, км	2.424 ± 0.757	5.941 ± 0.124	5.973 ± 0.280	6.959 ± 0.297
$f(M)$, M_{\odot}	0.018 ± 0.017	0.267 ± 0.17	0.271 ± 0.038	0.429 ± 0.053
ε , км/с	6.72	1.12	2.50	2.62

ТАБЛИЦА 3

Элемент орбиты	$v (H_{\alpha})$	Абсорбция H_{α}	$R (H_{\alpha})$
P , дни	5.5997 ± 0.0020	5.5997 ± 0.0020	5.5997 ± 0.0020
$T_0 (2440000+)$	3084.93 ± 0.66	3084.93 ± 1.35	3084.93 ± 3.96
v_0 , км/с	-270.9 ± 11.7	-37.7 ± 7.0	176.2 ± 10.4
K , км/с	89.9 ± 16.5	83.8 ± 9.9	65.5 ± 14.7
e	0.06 ± 0.80	0.06 ± 0.49	0.06 ± 0.43
ω , град	309 ± 40	310 ± 7	296 ± 12
$a \sin i \cdot 10^6$, км	6.910 ± 1.434	6.440 ± 0.849	5.037 ± 1.160
$f(M)$, M_{\odot}	0.420 ± 0.239	0.340 ± 0.124	0.163 ± 0.110
ε , км/с	11.75	7.07	10.42

ТАБЛИЦА 3 (продолжение)

Элемент орбиты	Редуцированная H_{α} , середина	Редуцированная H_{α} , центр тяжести
P , дни	5.5997 ± 0.0020	5.5997 ± 0.0020
$T_0 (2440000+)$	3084.93	3084.93
v_0 , км/с	14.2 ± 5.9	45.9 ± 7.2
K , км/с	40.3 ± 8.2	27.0 ± 10.2
e	0.06 ± 0.21	0.06 ± 0.15
ω , град	308 ± 12	247 ± 21
$a \sin i \cdot 10^6$, км	3.097 ± 0.635	2.078 ± 0.785
$f(M)$, M_{\odot}	0.038 ± 0.023	0.011 ± 0.013
ε , км/с	5.95	7.21

заны также среднеквадратичные ошибки орбитальных элементов и ε — среднеквадратичная ошибка нормального места единичного веса. Приписывание весов проводилось с учетом количества усредняемых спектрограмм и их качества.

Реальное орбитальное решение, как оказалось, существует только для лучевых скоростей центральной абсорбции в H_{α} . Отличие его от решения по среднему из всех абсорбционных линий, также приведенного в табл. 2, состоит в более отрицательной скорости центра тяжести системы ($v_0 = -31.7 \pm 5.9$ км/с) и заметном эксцентриситете ($e = 0.29 \pm 0.09$). Первое есть отражение расширения атмосферы сверхгиганта, «балльмеровский прогресс». Второе — появление

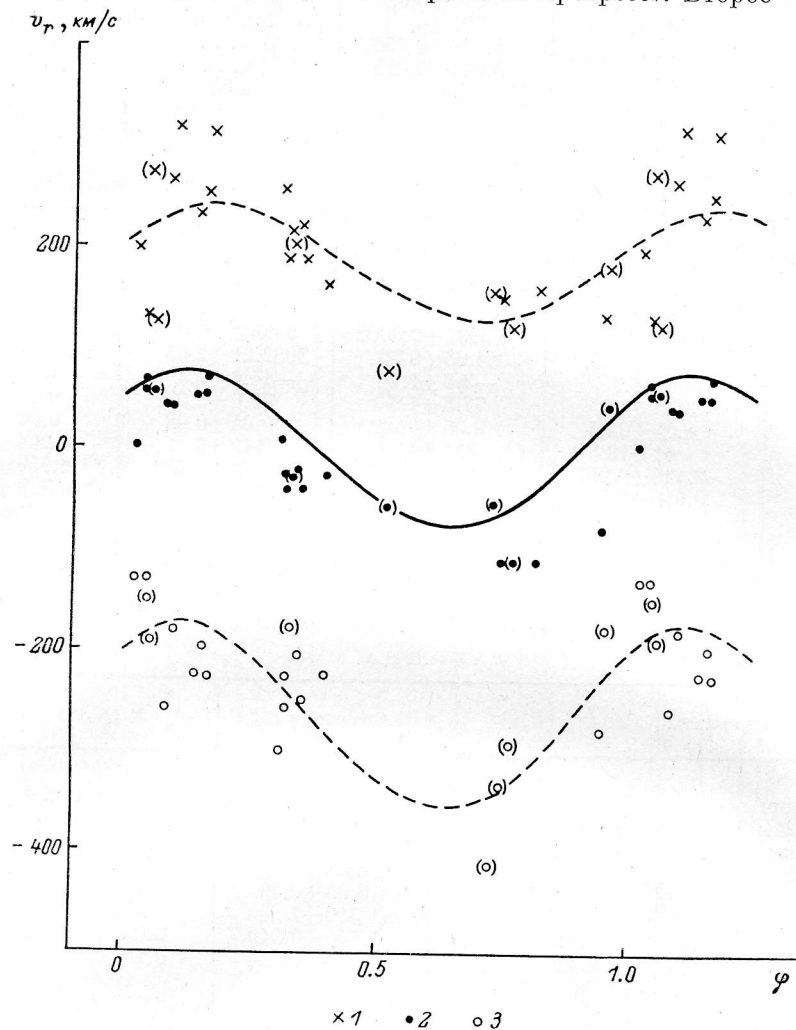


Рис. 3. Лучевые скорости линии H_{α} .

1 — красный компонент; 2 — центральная абсорбция; 3 — синий компонент. Сплошная линия — орбитальная кривая, рассчитанная нами по абсорбционным линиям [4], штриховая линия — орбитальные решения с фиксированными периодами ($3^{d}5997$), моментом прохождения перигея ($2443084^{d}928$) и эксцентриситетом (0.06). Неуверенные значения v_r взяты в скобки.

фиктивного эксцентриситета — обсуждалось для массивных рентгеновских систем в работах Мильгрома [10], ван Парадиза [11] и других. Оно связано главным образом с приливной деформацией главного компонента.

Лучевые скорости красного и синего эмиссионных компонентов H_{α} в общих чертах повторяют абсорбционную кривую. Это отчетливо видно из рис. 3, где лучевые скорости v - и R -компонентов приведены в фазах «абсорбционного» решения. Однако разброс значений в близких фазах довольно велик, что свидетельствует о долговременных вариациях профиля H_{α} . Формальные орбитальные решения, особенно для R -компонента, имеют нереально большие эксцентриси-

ситеты. Для количественного сравнения с абсорбционной орбитальной кривой мы предприняли еще один вариант расчетов, зафиксировав параметры P , T_0 , e (табл. 3). Ошибки параметров заметно увеличились, возросло ϵ , свидетельствуя о неоптимальном решении. Все же амплитуды K_V , K_R в пределах ошибок не отличаются от $K_{\text{ао}}$; γ — скорости равны соответственно $v_0(V) = -270.9 \pm 11.7$ км/с, $v_0(R) = +176.2 \pm 10.4$ км/с, но ошибки в эксцентриситетах много больше самих значений. На рис. 3 орбитальные кривые с фиксированными параметрами проведены штриховыми линиями. Таким образом, достаточно определенно можно сделать вывод о том, что эмиссия H_α образуется в области, близкой к атмосфере сверхгиганта, в целом повторяющей его орбитальное движение.

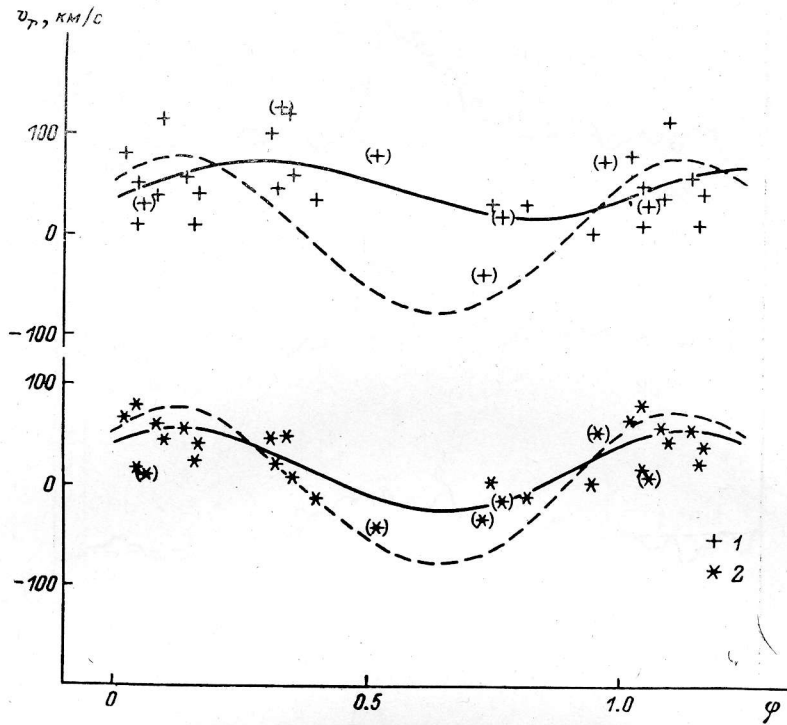


Рис. 4. Лучевые скорости редуцированной эмиссии H_α .

1 — центр тяжести линии; 2 — ее середина. Сплошной линией проведены строгие решения, штриховой — абсорбционная орбитальная кривая [4].

Учет фотосферной абсорбции, расчет кривых скоростей по редуцированному профилю в основном подтверждают этот вывод. На рис. 4 нанесены значения скоростей центра тяжести и середины редуцированной эмиссии в фазах абсорбционного решения, они проведены штриховыми линиями. Строгие решения приведены в табл. 2, 3, результаты из табл. 3 указаны на рис. 4 сплошной линией. Наблюдается заметное уменьшение амплитуды кривой скоростей центра тяжести эмиссии ($K_{\text{ЦТ}} = 27.0 \pm 10.2$ км/с), когда во внимание принимаются и протяженные крылья линии. Центральная часть профиля, середина, гораздо лучше повторяет орбитальную абсорбционную кривую. Причина такого поведения редуцированной эмиссии может быть отчасти методической, но не исключена и незвездный вклад в крылья линии (общая оболочка в системе?).

Долговременные изменения профиля H_α . К настоящему времени профили эмиссии H_α в спектрах звезд высокой светимости изучены наблюдательно [12, 13] и теоретически [14] достаточно хорошо. Показано, что эмиссия образуется в области звездного ветра, что форма профиля чрезвычайно различается от звезды к звезде и что для одной звезды профили значительно переменны на временах от нескольких дней до нескольких лет. Теоретическое моделирование профилей H_α в спектрах сверхгигантов с учетом фотосферной абсорбции [14] позволило выяснить, что профили крайне чувствительны к малым изменениям в законе истечения вещества.

В морфологическом плане профили H_{α} в спектре HDE 226868 (рис. 1) на протяжении пяти лет (1978—1983 гг.) можно разделить на три основных типа. Первый представляет собой два эмиссионных пика примерно равной интенсивности с центральной абсорбцией, достигающей $\sim 10\%$ от уровня непрерывного спектра. Во втором типе сильна ($\sim 20\%$ от континуума) длинноволновая эмиссионная компонента и очень слаба коротковолновая. Третий случай —

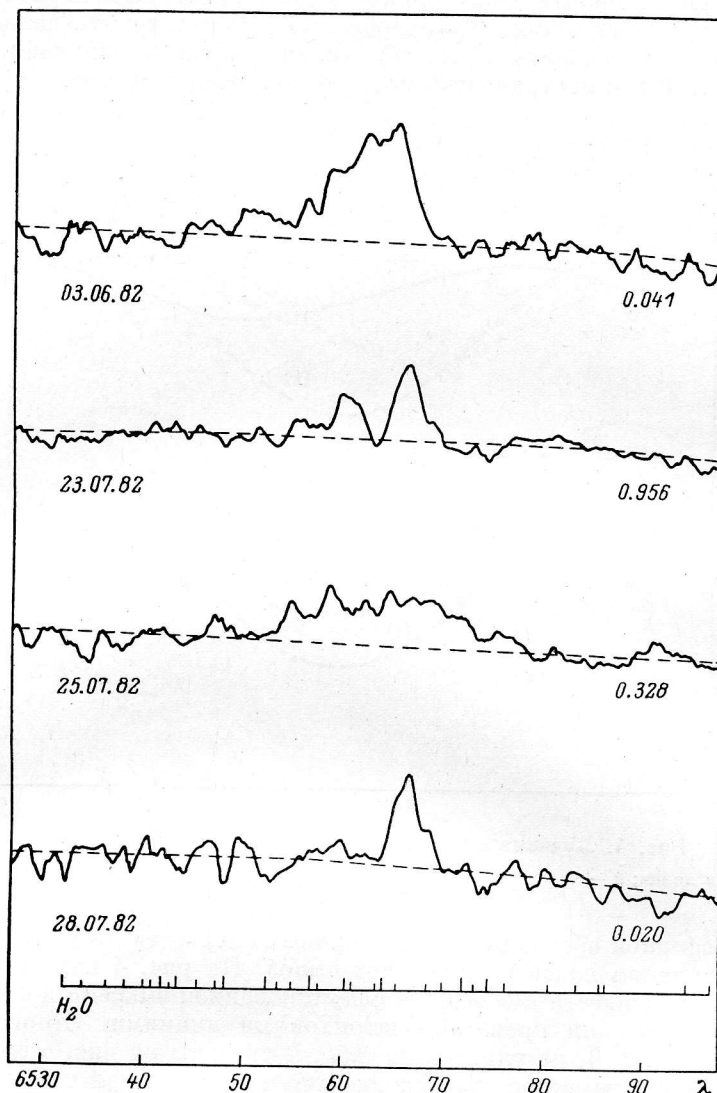


Рис. 5. Область эмиссии H_{α} в период июнь—июль 1982 г.

Указаны даты получения спектрограмм (слева) и спектроскопические фазы (справа). Внизу отмечены положения атмосферных линий поглощения воды по [15].

резко ослабевает центральная абсорбция. Все три типа наблюдаются в узких диапазонах орбитальных фаз, так что речь не идет об орбитальных изменениях. Примером могут служить профили H_{α} в диапазоне фаз $\phi=0.0 \div 0.1$ (рис. 1). Профиль первого типа был в мае 1979 г. и в сентябре 1980 г., третьего типа — в июне 1982 г. и второго — в июле 1982 г. Очень протяженные крылья наблюдаемых профилей прослеживаются более чем до ± 1200 км/с.

Сравнивая профили эмиссии H_{α} в спектре HDE 226868 с профилями H_{α} в спектрах других сверхгигантов [13, 14], можно отметить сходство с α Сиам (09.5 Ia) в те периоды времени, когда профиль имеет тип 2. Тип 1 напоминает

профили H_{α} в спектре ζ Ori (09.5 Ib) с тем, однако, отличием, что коротковолновый компонент у HDE 226868 имеет большую интенсивность. Тип 3 необычен и не имеет аналогов среди других сверхгигантов. Характерное время смены формы профиля — месяцы и даже дни. Так, 23 июля 1982 г. профиль имеет сильную центральную абсорбцию (тип 1), 25 июля абсорбция отсутствует и эмиссия стала шире (тип 3), 28 июля усилился красный компонент (тип 2). На рис. 5 приведены записи спектров в плотностях (для перевода в интенсивности часть

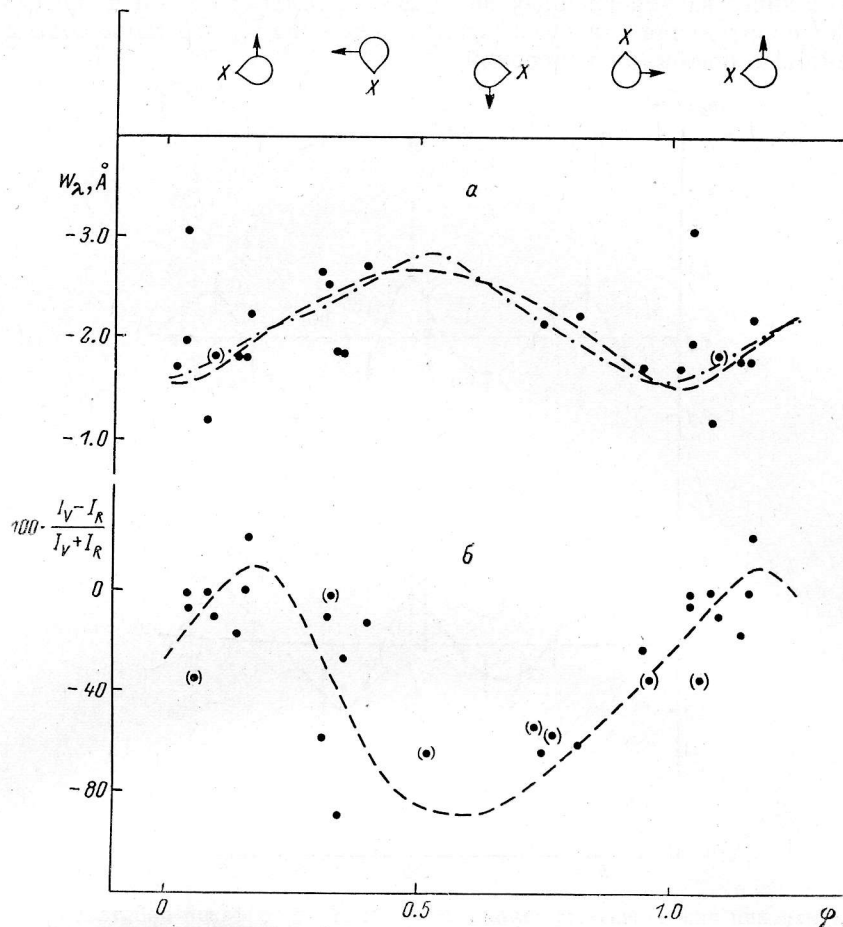


Рис. 6. Изменение параметров эмиссии H_{α} с фазой орбитального периода.

a — эквивалентной ширины редуцированной линии; *б* — отношения разности интенсивностей синего и красного компонентов нередуцированного профиля к их сумме. Штрихами изображены возможные зависимости, штрихпунктиром — с учетом орбитальной переменности фотосферного профиля. Вверху указаны положения сверхгиганта и вырожденного объекта через четверть орбитального периода, наблюдатель находится внизу.

из них имеет недостаточную плотность). Штрихами проведен уровень непрерывного спектра. Масштаб по оси абсцисс тот же, что и на рис. 1. Указаны теллурические линии по работе Пирса и Брэкинриджа [15], искажающие профиль H_{α} .

Изменения интенсивности H_{α} — орбитальные? После вычитания фотосферной абсорбции (W_{λ} абс = 1.30 Å) мы измеряли эквивалентную ширину эмиссии H_{α} . В среднем она составила $\bar{W}_{\lambda} = -2.09$ Å, меняясь от -3.08 до -1.19 Å, т. е. $\pm 45\%$ от среднего значения. Мы попытались свернуть эти изменения с орбитальным периодом, результат показан на рис. 6, *а*. В целом можно говорить о некоторой переменности эквивалентной ширины H_{α} эмиссии с орбитальным периодом; вероятная зависимость с амплитудой $\pm 26\%$ от среднего значения проведена штриховой линией.

Можно попытаться также учесть возможную переменность абсорбционной составляющей профиля H_α . Идея наличия такой переменности основана на том, что некоторый орбитальный тренд был обнаружен в эквивалентных ширинах других водородных абсорбционных линий [7]. На рис. 7 приведены изменения эквивалентных ширин линий H_β , H_γ с фазой орбитального периода. Проводилось усреднение в пределах 0.1φ , указаны среднеквадратичные ошибки указанных значений по стандартной зависимости (W_λ , σ_1) из работы Ааб и др. [5] с учетом количества усредненных значений. Штриховой линией представлена возможная орбитальная зависимость; отметим, однако, что амплитуда изменений сравнима с ошибками измерений.

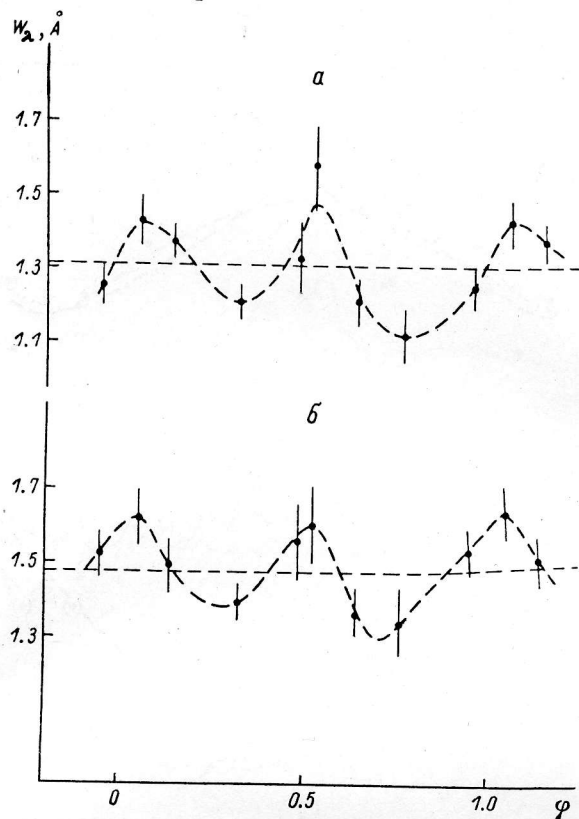


Рис. 7. Изменения эквивалентных ширин H_β (а) и H_γ (б) с фазой орбитального периода. Приведены стандартные ошибки значений W_λ , усредненных внутри 0.1-фазы.

В предположении, что амплитуда изменения абсорбции H_α сравнима с та-ковой в H_γ ($\pm 9\%$ от среднего значения $W_\lambda = 1.48 \text{ \AA}$) и H_β ($\pm 14\%$ от среднего значения $W_\lambda = 1.31 \text{ \AA}$), мы можем указать влияние орбитального тренда. Редуцированная зависимость указана на рис. 6, а штрихпунктиром. От среднего значения $\bar{W}_\lambda = -2.09 \text{ \AA}$ эти изменения составляют около $\pm 8\%$ и не меняют характера зависимости эмиссии H_α от орбитального периода. Некоторые вариации фотосферного профиля при получении редуцированного практически не влияют на положение центра тяжести и середины последнего, так как дополнительные вклады симметричны относительно середины абсорбции (на рис. 2 штрихпунктиром отмечена амплитуда изменения фотосферного и редуцированного профилей).

Отметим, однако, что разброс значений эквивалентных ширин H_α в близких фазах велик, и долговременные изменения сравнимы с амплитудой орбитальной переменности.

Несмотря на весьма сильную переменность профилей во времени, мы рассмотрели также поведение соотношения интенсивностей красного и синего

компонентов нередуцированной эмиссии с фазой. На рис. 6, б приведено изменение величины $I_V - I_R / (I_V + I_R)$ с фазой орбитального периода. С заметным разбросом прослеживается зависимость с минимумом в одной из квадратур и максимумом в другой квадратуре, когда сверхгигант имеет максимальную положительную лучевую скорость. Такая зависимость достаточно естественна, если предполагать перемещение абсорбции по неподвижной эмиссии. При удалении сверхгиганта фотосферная абсорбция смещается в длинноволновую сторону, разность $I_V - I_R$ возрастает; когда сверхгигант приближается, ситуация становится симметричной. Это несколько не сочетается с поведением выделен-

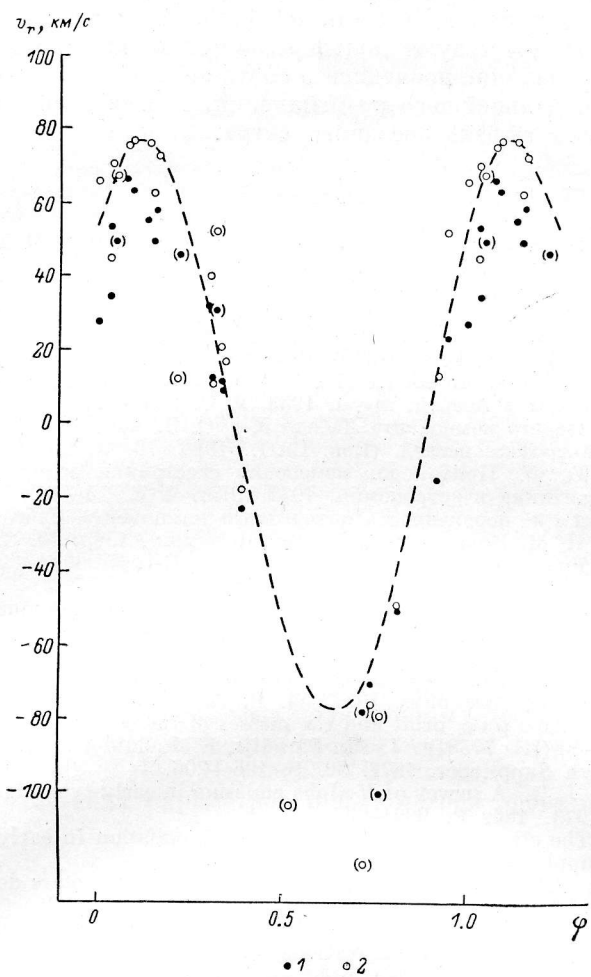


Рис. 8. Лучевые скорости абсорбционных линий гелия $\lambda 5876 \text{ \AA}$ (1) и $\lambda 6678 \text{ \AA}$ (2) в фазах абсорбционного орбитального решения [4], изображенного штриховой линией.

Неуверенные значения взяты в скобки.

ной эмиссии — она в основном повторяет движение сверхгиганта. Все же данная зависимость, полученная по реальным наблюдаемым профилям, представляется более надежной, чем данные по редуцированному профилю.

Линии гелия. В исследуемом спектральном диапазоне ($\lambda = 5000 \div 7000 \text{ \AA}$) присутствуют две сильные абсорбционные линии Не I: $\lambda = 5876 \text{ \AA}$ ($\bar{W}_\lambda = 1.27 \text{ \AA}$, $R_c = 0.31$) и $\lambda = 6678 \text{ \AA}$ ($\bar{W}_\lambda = 0.96 \text{ \AA}$, $R_c = 0.28$). В литературе есть упоминания о необычном поведении лучевых скоростей красных абсорбций Не I, отличающихся от средней орбитальной кривой [10]. Наши расчеты (табл. 2) не подтверждают этого. Присутствует эффект звездного ветра, он сильнее выражен, чем у линий Не I в синем диапазоне: v_0 ($\lambda = 5876 \text{ \AA}$) = $-14.6 \pm 2.4 \text{ км/с}$, v_0

($\lambda=6678 \text{ \AA}$) = $-10.5 \pm 2.6 \text{ км/с}$, v_0 (Не I, син) = $-7.1 \pm 0.6 \text{ км/с}$. Заметно также некоторое увеличение полуамплитуды кривой скоростей в линии $\lambda=6678 \text{ \AA}$: $K=90.4 \pm 3.7 \text{ км/с}$ [в сравнении с K (Не I, син) = $77.1 \pm 1.0 \text{ км/с}$]. Для иллюстрации дифференциальных сдвигов на рис. 8 приведены лучевые скорости абсорбций $\lambda=5876, 6678 \text{ \AA}$ в фазах среднего абсорбционного решения.

Заключение. Изучение линии H_α в спектре сверхгиганта HDE 226868 — оптического компонента рентгеновского источника Лебедь X-1 показало, что ее профиль формируется главным образом в протяженной расширяющейся атмосфере и истекающей оболочке сверхгиганта. Не исключены дополнительные вклады в линию, так как временами профиль имеет нетипичную для сверхгигантов форму. Присутствуют долговременная и орбитальная переменности интенсивности H_α , наличие последней в соотношении красного и синего компонентов H_α требует дальнейшего размышления. Линии гелия в красном диапазоне демонстрируют эффект звездного ветра.

Литература

1. Brucato R. J., Zappala R. R. Observations of H_α in HDE 226868 // Astrophys. J. (Letters). 1974. 189. P. L71—L74.
2. H alpha emission in Cyg X-1/J. B. Hutchings, A. P. Couley, D. Crampton, G. Faehmann, J. W. Glaspey, G. A. H. Walker // Astrophys J. 1974. 191. P. 743—748.
3. Hutchings J. B., Grampton D., Bolton C. T. H_α emission in Cygnus X-1 1977 // Publ. Astron. Soc. Pacif. 1979—1980. 91. P. 769—799.
4. Ааб О. Э. Эмиссионная линия Не II $\lambda 4686$ и масса релятивистской звезды в системе Лебедь X-1 // Письма в Астрон. журн. 1983. 9. С. 606—611.
5. Спектр оптического компонента Лебедя X-1 / О. Э. Ааб, Л. В. Бычкова, И. М. Конылов и др. // Астрофиз. исслед. (Изв. САО). 1982. 16. С. 3—11.
6. Антропов Ю. Ф. Прибор для измерения расстояний между спектральными линиями // Новая техника в астрономии. 1972. Вып. 4. С. 75—77.
7. Спектральная переменность оптического компонента Лебедя X-1 / О. Э. Ааб, Л. В. Бычкова, И. М. Конылов и др. // Астрон. журн., 1983. 60. С. 1041—1050.
8. Ebets D. Photospheric velocity fields in the O-type stars // Astrophys. J. 1979. 227. P. 510—518.
9. Спектроскопическое исследование оптической компоненты Лебедя X-1 / О. Э. Ааб, Л. В. Бычкова, И. М. Конылов и др. // Письма в Астрон. журн. 1981. 7. С. 417—421.
10. Millgram M. Distortion of absorption-line velocity curves due to X-ray heating in X-ray binaries // Astron. and Astrophys. 1977. 54. P. 725—731.
11. The spectroscopic orbit and the masses of the components of the binary X-ray source 3U 0900—40 (HD 77581) / J. van Paradijs, E. J. Zuiderwijk, R. J. Takens et al. // Astron. Astrophys. Suppl. Ser. 1977. 30. P. 195—206.
12. Rosenthal J. D. A survey of H -alpha emission in early-type high-luminosity stars // Astrophys. J. 1973. 186. P. 909—937.
13. Ebets D. The structure and variability of H_α emission in early-type supergiants // Astrophys. J. Suppl. Ser. 1982. 48. P. 399—414.
14. Olson G. L., Ebets D. Mass-loss rates in early-type stars determined by fitting balmer-alpha profiles // Astrophys. J. 1981. 248. P. 1021—1030.
15. Pierce A. K., Breckinridge J. B. The Kitt Peak table of photographic solar spectrum // Contr. Kitt Peak National Obs. 1973, 1974. P. 1—43.

Поступила в редакцию
6 февраля 1986 г.